



# Catalisadores de níquel suportados em CeO<sub>2</sub> e ZrO<sub>2</sub> para a produção de hidrogênio sustentável a partir da reforma a vapor de etanol

Thiago M. Rossi<sup>1</sup>, Robinson L. Manfro<sup>1</sup>, Mariana M. V. M. Souza<sup>1</sup>\*

<sup>1</sup>Escola de Química, Universidade Federal do Rio de Janeiro, Bloco E, Sala 206, 21941-909 Rio de Janeiro-RJ, Brasil. \*mmattos@eq.ufrj.br

#### Resumo/Abstract

RESUMO - Os suportes ZrO<sub>2</sub>, CeO<sub>2</sub> e CeO<sub>2</sub>-ZrO<sub>2</sub> foram sintetizados por coprecipitação e os catalisadores por impregnação úmida, e calcinados a 600 °C. O NiO/CeO<sub>2</sub>-ZrO<sub>2</sub> apresentou o maior valor de área específica (57 m² g⁻¹), basicidade (224 μmol CO<sub>2</sub> g⁻¹) e grau de redução (94%), onde, de acordo com o TPR, a redução deve ser realizada em 600 °C. Todas as reações foram realizadas com GHSV de 100000 h⁻¹ e 50 mg de catalisador. Os testes de temperatura foram feitos a 400, 500 e 600 °C por 2 h e mostraram que a reação de reforma é favorecida em 600 °C, com conversões próximas de 100%. Os testes de estabilidade foram realizados a 500 °C por 30 h. O catalisador NiO/CeO<sub>2</sub>-ZrO<sub>2</sub> apresentou melhor desempenho nas primeiras horas de reação, com conversão global de 97% e rendimento em H₂ de 71%. Por outro lado, os três catalisadores apresentam drástica redução, tanto da conversão quanto do rendimento, ao longo das 30 h.

Palavras-chave: reforma a vapor, etanol, hidrogênio, níquel.

ABSTRACT - The supports  $ZrO_2$ ,  $CeO_2$  and  $CeO_2$ - $ZrO_2$  were synthesized by co-precipitation and the catalysts by wet impregnation, followed by calcination at 600 °C. The NiO/CeO $_2$ - $ZrO_2$  catalyst exhibited the highest specific surface area (57 m² g⁻¹), basicity (224  $\mu$ mol  $CO_2$  g⁻¹), and reduction degree (94%), where, according to TPR analysis, the reduction should be carried out at 600 °C. All reactions were performed with a GHSV of 100,000 h⁻¹ and 50 mg of catalyst. Temperature tests were conducted at 400, 500, and 600 °C for 2 hours and showed that the reforming reaction is favored at 600 °C, with conversions close to 100%. Stability tests were carried out at 500 °C for 30 hours. The NiO/CeO $_2$ - $ZrO_2$  catalyst presented the best performance in the initial hours, with an overall conversion of 97% and an  $H_2$  yield of 71%. On the other hand, all three catalysts showed a drastic decrease in both conversion and yield during 30 h.

Keywords: steam reforming, ethanol, hydrogen, nickel.

## Introdução

O hidrogênio tem sido apontado como uma das maiores fontes de energia do futuro, pois destaca-se o fato de ser não tóxico, não poluente e contribuir de forma decisiva para a descarbonização dos sistemas de energia (1). Com a finalidade de se obter o hidrogênio de forma sustentável, deve-se desenvolver tecnologias que utilizem matériasprimas renováveis. A utilização de compostos derivados de biomassa para a produção de hidrogênio é altamente vantajosa do ponto vista ambiental, pois pode-se reduzir ou mesmo suprimir as emissões de CO2, já que a biomassa consome CO<sub>2</sub> durante o crescimento (2). Além disso, a utilização de uma fonte renovável permite diminuir a dependência em relação aos combustíveis fósseis e gerar créditos no mercado mundial de carbono. Dentre os compostos derivados de biomassa, destaca-se o etanol. O Brasil é o segundo maior produtor de etanol do mundo, utilizando como matéria-prima a cana-de-açúcar. Em 2023 o Brasil produziu 35,6 bilhões de litros do combustível (3).

Catalisadores suportados de Pt, Ru, Rh, Pd e Ni são os mais utilizados na reforma a vapor de compostos oxigenados (4). Catalisadores baseados em metais nobres

possuem uma menor sensibilidade à deposição de coque e maior atividade. No entanto, considerando o alto custo e a limitada disponibilidade dos metais nobres, é mais econômico do ponto de vista comercial desenvolver catalisadores baseados em metais não nobres, como o níquel, com boa atividade e resistência a deposição de coque.

Os catalisadores usados na reforma devem ter alta atividade catalítica, alta seletividade para hidrogênio e estabilidade ao longo do tempo reacional. Os catalisadores precisam ter boa atividade para quebrar as ligações C-C, O-H e C-H dos oxigenados, e baixa atividade na quebra das ligações C-O, além de catalisar a reação de deslocamento gás-água ("water-gas shift") para converter o CO adsorvido na superfície em CO<sub>2</sub> (5).

Portanto, os objetivos desse trabalho são: (i) sintetizar catalisadores de Ni suportado em ZrO2, CeO2 e óxido misto de CeO2-ZrO2 por coprecipitação e impregnação úmida, (ii) caracterizar os catalisadores quanto as suas propriedades texturais, estruturais e basicidade superficial, (iii) avaliar os catalisadores na reforma a vapor de etanol, investigando o efeito da temperatura e (iv) avaliar a estabilidade dos



catalisadores ao longo do tempo reacional, em pelo menos 30 h de reação.

# Experimental

Síntese dos catalisadores

Foram preparados catalisadores com 20% em massa de NiO, suportados em ZrO<sub>2</sub>, CeO<sub>2</sub> e CeO<sub>2</sub>-ZrO<sub>2</sub> através das metodologias de impregnação úmida e coprecipitação.

Primeiramente foi feito o preparo do suporte a partir da coprecipitação. Preparou-se uma solução A contendo os nitratos de cério (Ce(NO<sub>3</sub>)<sub>3</sub>.6H<sub>2</sub>O) e/ou oxinitrato de zircônio IV hidratado (ZrO(NO<sub>3</sub>)<sub>2</sub>.xH<sub>2</sub>O) na proporção desejada, e uma solução B contendo o agente precipitante hidróxido de sódio (NaOH) na concentração de 1 mol L<sup>-1</sup>. A solução B foi gotejada sobre a solução A através de uma bomba peristáltica com uma taxa de 1 mL min<sup>-1</sup>, sob agitação vigorosa. O pH foi monitorado ao longo da precipitação, encerrada a precipitação quando o pH atingiu um valor próximo de 9. O precipitado foi filtrado a vácuo, lavado com água destilada até pH igual a 7 e seco a 100 °C em estufa por 24 h. Após a secagem, os suportes foram calcinados a 600 °C por 2 h sob fluxo de ar, com vazão de 60 mL min<sup>-1</sup>.

Por fim, o níquel foi incorporado sobre os suportes de ZrO<sub>2</sub>, CeO<sub>2</sub> e CeO<sub>2</sub>-ZrO<sub>2</sub> pelo método de impregnação úmida. Uma solução de nitrato de níquel hexahidratado (Ni(NO<sub>3</sub>)<sub>2</sub>.6H<sub>2</sub>O) (na proporção desejada) foi colocada em contato com o suporte e o excesso de água foi removido por rotaevaporação a 60 °C, sob vácuo. Após a evaporação completa da água, o sólido resultante foi seco em estufa a 100 °C por 24 h e calcinado a 600 °C por 2 h sob fluxo de ar, com vazão de 60 mL min<sup>-1</sup>.

## Caracterização dos catalisadores

A fluorescência de raios X (FRX) foi utilizada para a determinação da composição química elementar dos suportes e catalisadores. As medidas de FRX foram realizadas em um equipamento Rigaku, modelo Primini.

Medidas de difração de raios X (DRX) foram realizadas em um difratômetro da marca Rigaku modelo Miniflex II com monocromador e radiação de CuKα (30 kV e 15 mA). A caracterização das fases foi realizada usando o banco de dados JCPDS (ICDD). Os tamanhos médios de cristalito de Ni foram obtidos a partir dos difratogramas dos catalisadores reduzidos, utilizando a equação de Scherrer.

A dispersão da fase ativa dos catalisadores foi estimada de acordo com Anderson (6) (Equação 1):

$$D = (6V_m)/(D_{hkl}A_m) \tag{1}$$

Onde,  $D_{hkl}$  é o tamanho médio de cristalito (nm), D é a dispersão do Ni,  $V_m$  é o volume atômico do Ni (0,0109 nm³),  $A_m$  é a área superficial de um átomo de Ni (0,0649 nm²).



A fisissorção de N<sub>2</sub> utilizou os métodos de Brunauer, Emmett e Teller (BET) e Barret, Joyner e Hallenda (BJH), onde foram investigadas as características texturais dos materiais. Medidas de fisissorção de N<sub>2</sub> foram realizadas no equipamento Micromeritics da marca TriStar II modelo 3020.

Os perfis de redução dos catalisadores foram obtidos através da análise de redução à temperatura programada (TPR). A amostra foi pré-tratada até a temperatura de 150 °C, com uma taxa de 10 °C min<sup>-1</sup> e vazão de argônio de 30 mL min<sup>-1</sup>. Em seguida, a amostra foi aquecida da temperatura ambiente até 1000 °C com uma taxa de aquecimento de 10 °C min<sup>-1</sup> e vazão de 30 mL min<sup>-1</sup> de 2% vol H<sub>2</sub>/Ar. O perfil de consumo de H<sub>2</sub> foi monitorado através de um espectrômetro de massas. O grau de redução foi determinado a partir da razão entre os consumos experimental e teórico, utilizando o teor de NiO medido por fluorescência.

A determinação de sítios básicos foi realizada por dessorção de CO<sub>2</sub> à temperatura programada (TPD-CO<sub>2</sub>). 150 mg de catalisador foram reduzidos *in situ* a 600 °C. A adsorção de CO<sub>2</sub> foi realizada a temperatura ambiente utilizando uma mistura de 10 % CO<sub>2</sub>/He (30 mL min<sup>-1</sup>) por 30 min, seguida de remoção do CO<sub>2</sub> fisissorvido com vazão de 30 mL min<sup>-1</sup> de He por 1 h. A dessorção de CO<sub>2</sub> foi realizada com uma taxa de 20 °C min<sup>-1</sup> até 1000 °C com uma vazão de He de 30 mL min<sup>-1</sup>. O sinal de CO<sub>2</sub> foi registrado por um espectrômetro de massas.

#### Avaliação catalítica

As reações de reforma a vapor foram conduzidas em reator de quartzo, de leito fixo, a pressão atmosférica, com solução aquosa 10% v/v de etanol e massa de catalisador de 50 mg. O leito catalítico foi composto por uma mistura de catalisador e carbeto de silício (SiC), na razão mássica catalisador/SiC de 1/5. A Velocidade Espacial Horária do Gás (GHSV) utilizada foi de 100000 h<sup>-1</sup>.

Antes das reações, os catalisadores foram reduzidos *in situ* na temperatura de 600 °C, utilizando uma mistura gasosa de  $N_2$  e  $H_2$  nas vazões de 60 e 30 mL min<sup>-1</sup>. As reações para os testes de temperatura foram realizadas em 400, 500 e 600 °C por 2 h. Os testes de estabilidade foram realizados por 30 h a 500 °C. Os gases produzidos nas reações de reforma foram analisados por cromatografia a gás (CG) e os produtos líquidos por cromatografia líquida (HPLC).

## Resultados e Discussão

Caracterização dos catalisadores

A Tabela 1 apresenta a composição química dos suportes e catalisadores sintetizados, onde o valor teórico de NiO para todos os catalisadores é de 20% e a proporção mássica de CeO<sub>2</sub> e ZrO<sub>2</sub> em CeO<sub>2</sub>-ZrO<sub>2</sub> e NiO/CeO<sub>2</sub>-ZrO<sub>2</sub> é de 75-25% e 60-20%, respectivamente. Conforme observado, as



composições de todos os materiais sintetizados estão próximas dos valores teóricos.

**Tabela 1.** Composição química dos catalisadores e suportes sintetizados (%m/m)

Catalisador ou	Composição química			
suporte	NiO	CeO <sub>2</sub>	ZrO <sub>2</sub>	
CeO <sub>2</sub>	0,0	100,0	0,0	
CeO <sub>2</sub> -ZrO <sub>2</sub>	0,0	76,0	24,0	
ZrO <sub>2</sub>	0,0	0,0	100,0	
NiO/CeO <sub>2</sub>	22,5	77,5	0,0	
NiO/CeO <sub>2</sub> -ZrO <sub>2</sub>	20,7	57,8	21,5	
NiO/ZrO <sub>2</sub>	18,6	0,0	81,4	

A Figura 1 apresenta os difratogramas de raios X dos suportes e dos catalisadores. O catalisador NiO/CeO<sub>2</sub> apresentou picos característicos de CeO<sub>2</sub> e NiO (JCPDS 34-0394 e JCPDS 47-1049), conforme era esperado. O suporte CeO<sub>2</sub>-ZrO<sub>2</sub> apresentou picos semelhantes ao CeO<sub>2</sub>, mas com um deslocamento de aproximadamente 0,2°, indicando uma alteração na rede cristalina do CeO<sub>2</sub> devido a presença do ZrO<sub>2</sub>. Logo, pode ser especulado que o ZrO<sub>2</sub> se encontra na rede cristalina do CeO<sub>2</sub>, formando um óxido misto dos dois metais (CeZrO<sub>2</sub> – JCPDS 28-0271). O difratograma do NiO/CeO<sub>2</sub>-ZrO<sub>2</sub> mostrou picos do suporte e de NiO. Já o NiO/ZrO<sub>2</sub> possui picos de ZrO<sub>2</sub> e NiO, onde o suporte ZrO<sub>2</sub> é formado por uma mistura de fase ortorrômbica (JCPDS 37-1413) e monoclínica (JCPDS 37-1484).

Os difratogramas de raios X dos catalisadores reduzidos são apresentados na Figura 2, onde pode ser visto os picos referentes à fase de níquel metálico (Ni) em  $2\theta = 44,5^{\circ}$ ,  $51,8^{\circ}$  e  $76,4^{\circ}$  (JCPDS 04-0850).

A Tabela 2 destaca o tamanho médio de cristalito e a dispersão do Ni nos catalisadores reduzidos. O tamanho de cristalito foi calculado utilizando o pico principal de Ni do difratograma (Figura 2, 2θ = 44,5°). O NiO/ZrO<sub>2</sub> apresentou menor cristal de níquel, comparado ao NiO/CeO<sub>2</sub>. Por outro lado, o NiO/CeO<sub>2</sub>-ZrO<sub>2</sub> possui o maior cristalito, que consequentemente gerou a menor dispersão de níquel. A maior dispersão de níquel em NiO/ZrO<sub>2</sub> sugere uma maior interação da fase ativa com o suporte, apesar da menor área específica (Tabela 3). Varkolu *et al.* (7) relataram tamanho de cristalito de Ni de 33,1 nm para NiO/ZrO<sub>2</sub>-SiO<sub>2</sub>. Já Wang *et al.* (8) prepararam catalisador de NiO/CeO<sub>2</sub>-ZrO<sub>2</sub> com cristalito de Ni com 67,9 nm.

Tabela 2. Tamanho de cristalito e dispersão de Ni

۰	amamo de cristanto e dispersao de 141.				
	Catalisador	D <sub>111</sub> (nm)	D (%)		
	NiO/CeO <sub>2</sub>	54,2±5,6	1,86		
	NiO/CeO <sub>2</sub> -ZrO <sub>2</sub>	67,7±5,7	1,49		
	NiO/ZrO <sub>2</sub>	35,1±2,8	2,87		



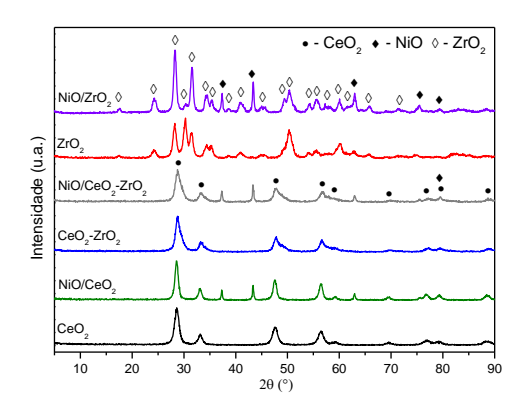


Figura 1. Difratogramas de raios X dos suportes e catalisadores.

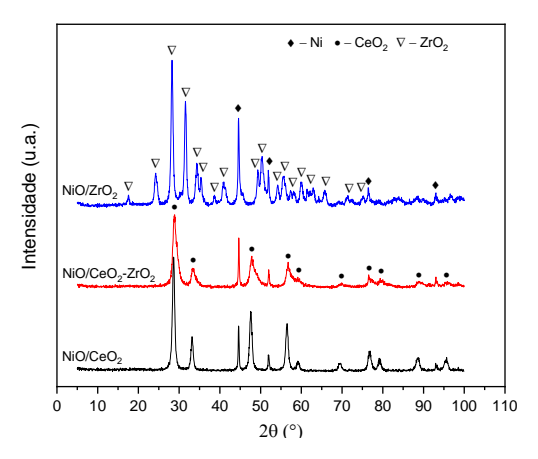


Figura 2. Difratogramas de raios X dos catalisadores reduzidos.

A Tabela 3 apresenta as propriedades texturais dos suportes e catalisadores sintetizados. Dentre os suportes, o CeO<sub>2</sub> apresenta a maior área específica e o ZrO<sub>2</sub> a menor. Após a impregnação dos suportes com NiO, a área específica reduziu, o que já era esperado. Avaliando os catalisadores, o NiO/CeO<sub>2</sub>-ZrO<sub>2</sub> tem a maior área BET e o NiO/ZrO<sub>2</sub> a menor.

**Tabela 3.** Análise textural dos suportes e catalisadores sintetizados.

Amostra	BET (m <sup>2</sup> g <sup>-1</sup> )	V <sub>poro</sub> (cm <sup>3</sup> g <sup>-1</sup> )	D <sub>poro</sub> (Å)
CeO <sub>2</sub>	94	0,202	83,5
NiO/CeO <sub>2</sub>	50	0,120	95,6
CeO <sub>2</sub> -ZrO <sub>2</sub>	86	0,137	58,8
NiO/CeO <sub>2</sub> -ZrO <sub>2</sub>	57	0,102	66,5
ZrO <sub>2</sub>	62	0,132	77,1
NiO/ZrO <sub>2</sub>	36	0,119	130,4

As áreas específicas dos catalisadores sintetizados são maiores do que alguns trabalhos da literatura, por exemplo, (i) Pérez-Hernández et al. (9): CeO<sub>2</sub>, NiO/CeO<sub>2</sub>, CeO<sub>2</sub>-ZrO<sub>2</sub>, NiO/CeO<sub>2</sub>-ZrO<sub>2</sub>, ZrO<sub>2</sub> e NiO/ZrO<sub>2</sub> - 53, 47, 67, 55, 4 e 3 m² g⁻¹ (calcinação 600 °C) e (ii) Wang et al. (8): CeO<sub>2</sub>-ZrO<sub>2</sub> e NiO/CeO<sub>2</sub>-ZrO<sub>2</sub> - 36 e 24 m² g⁻¹ (calcinação 600 °C).



As referências destacadas relataram a síntese dos catalisadores utilizando hidróxido de amônio, uma base mais fraca do que a utilizada nesse estudo (NaOH). Uma síntese teste de CeO<sub>2</sub> e NiO/CeO<sub>2</sub> foi realizada utilizando NH<sub>4</sub>OH como agente precipitante. Foi observado que o suporte e o catalisador produzidos apresentaram uma área específica menor (53 e 38 m<sup>2</sup> g<sup>-1</sup>). Logo, a força da base influencia significativamente as propriedades texturais dos materiais.

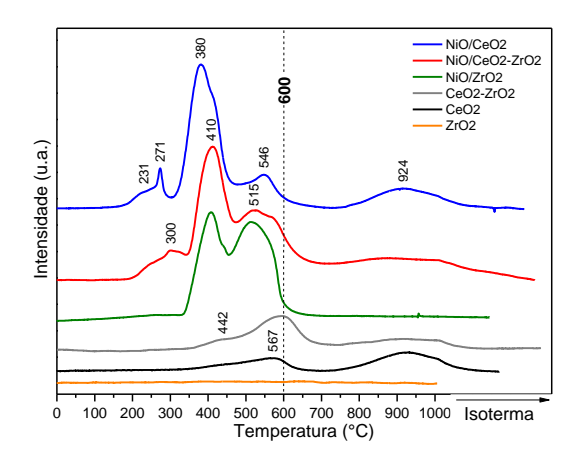
A Figura 3 apresenta os perfis de redução a temperatura programada (TPR) dos suportes e dos catalisadores. O suporte de CeO<sub>2</sub> é redutível, podendo acontecer a redução parcial do Ce<sup>4+</sup> para Ce<sup>3+</sup> (10), sendo que foram observados picos em temperaturas de 442, 567 e 924 °C. Para o suporte de CeO<sub>2</sub>-ZrO<sub>2</sub> o segundo pico foi deslocado para 600 °C. O suporte de ZrO<sub>2</sub> não é redutível, não apresentando picos de redução. Os três catalisadores apresentaram redução de Ni<sup>2+</sup> para Ni<sup>0</sup> até 600 °C, onde picos em temperaturas menores (≤ 300 °C) representam partículas de óxido de níquel com baixa interação com o suporte (NiO livre). Por outro lado, picos com temperaturas maiores (380-546 °C) estão associados a partículas de NiO com forte interação com o suporte. Os picos largos para os catalisadores contendo óxido de zircônio sugerem uma ampla distribuição de tamanho de partícula de NiO (10). Dessa forma, a redução do catalisador pode ser realizada na temperatura de 600 °C, garantindo que a maior parte das partículas de níquel serão reduzidas à níquel metálico.

Na Tabela 4 são mostrados os graus de redução do NiO para os três catalisadores, onde esses valores foram calculados a partir da área abaixo das curvas de TPR até 600 °C. O pico de redução a 924 °C é exclusivo para a redução do cério, logo, ele não foi considerado nos cálculos do grau de redução de níquel. É possível verificar que os catalisadores NiO/CeO<sub>2</sub>-ZrO<sub>2</sub> e NiO/ZrO<sub>2</sub> apresentaram grau de redução semelhante e maior que o do NiO/CeO<sub>2</sub>. Logo, é possível especular que o NiO presente no catalisador suportado em CeO<sub>2</sub> interage mais fortemente com o suporte (10). A dopagem do CeO<sub>2</sub> com ZrO<sub>2</sub> altera a interação entre as partículas de NiO e o suporte, melhorando a redutibilidade dos catalisadores.

Tabela 4. Grau de redução do níquel.

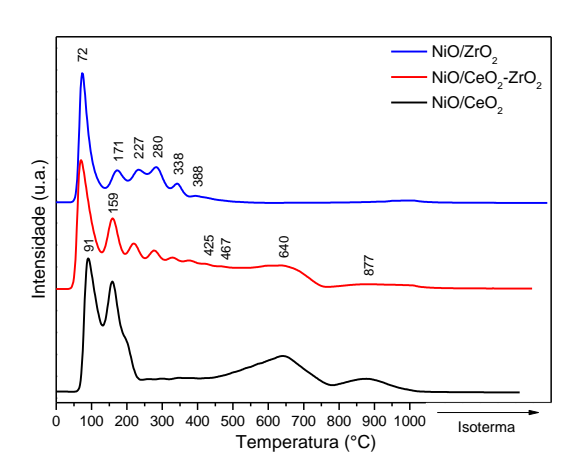
Catalisador	NiO/CeO <sub>2</sub>	NiO/CeO <sub>2</sub> -ZrO <sub>2</sub>	NiO/ZrO <sub>2</sub>
Grau de Redução	76	94	89
(%)			





**Figura 3.** Perfis de redução a temperatura programada (TPR) dos suportes e catalisadores.

Os perfis de dessorção de  $CO_2$  a temperatura programada (TPD- $CO_2$ ) estão apresentados na Figura 4. O catalisador NiO/ $CeO_2$  apresenta picos mais intensos em baixas temperaturas ( $\leq 159$  °C), com duas bandas largas em temperaturas elevadas ( $\geq 640$  °C). Por outro lado, o catalisador NiO/ $ZrO_2$  possui uma distribuição de picos concentrada em temperaturas menores do que 400 °C, com o pico mais intenso em 72 °C. Já o NiO/ $CeO_2$ - $ZrO_2$  possui um perfil semelhante ao NiO/ $ZrO_2$  até 400 °C e ao NiO/ $CeO_2$  a partir de 640 °C.



**Figura 4.** Perfis de dessorção a temperatura programada de CO<sub>2</sub> (TPD-CO<sub>2</sub>) dos catalisadores.

A força dos sítios básicos é classificada de acordo com a temperatura de dessorção dos picos: (i) < 200 °C, fracos, (ii) 200-400 °C, moderados e (iii) > 400 °C, fortes; eles estão associados com OH de superfície, par metal-oxigênio e espécies de oxigênio de superfície de baixa coordenação, respectivamente (11). Conforme observado na Tabela 5, o catalisador NiO/ZrO<sub>2</sub> possui uma basicidade muito menor do que aqueles contendo CeO<sub>2</sub>.



**Tabela 5.** Quantidade e distribuição de sítios básicos dos catalisadores.

Catalisador	Sítios básicos totais (µmol CO <sub>2</sub> g <sup>-1</sup> )	Distribuição de sítios básicos (fraco:médio: forte) (%)		
NiO/CeO <sub>2</sub>	196,6	49,7:10,5:39,8		
NiO/CeO <sub>2</sub> -ZrO <sub>2</sub>	223,6	38,7:28,5:32,8		
NiO/ZrO <sub>2</sub>	81,6	57,3:42,7:0,0		

#### Avaliação catalítica

A Tabela 6 destaca a conversão global, a gás e o rendimento em H<sub>2</sub> variando a temperatura reacional, onde a reação foi processada por 2 horas. De um forma geral, tanto a conversão quanto o rendimento aumentam com o aumento da temperatura, pois a reação de reforma a vapor tende a ser favorecida em temperaturas maiores. Em 400 °C foi obtida baixas conversões e baixo rendimento em H2, o que provavelmente, foi provocado pela maior formação de coque e subprodutos líquidos (acetona e acetaldeído), uma vez que a diferença entre a conversão global e a gás é maior. Por outro lado, em 600 °C a conversão foi máxima, com a formação de coque sendo minimizada já que as conversões (C e CG) são semelhantes. Conforme a análise de cromatografia do líquido produzido, apenas em 400 °C foi detectada a presença de acetona e acetaldeído com rendimento de 0,6% e 5,8%, respectivamente. Analisando os resultados em 500 °C, o NiO/CeO2-ZrO2 apresentou os maiores valores de conversão e rendimento em H<sub>2</sub>.

**Tabela 6.** Comparativo da conversão global, a gás e rendimento em H<sub>2</sub> entre os catalisadores.

Catalisador	T (°C)	C (%)	CG (%)	R (%)
	400	53	31	22
NiO/CeO <sub>2</sub>	500	83	73	67
	600	99	93	87
NiO/CeO <sub>2</sub> -ZrO <sub>2</sub>	400	29	19	15
	500	97	84	71
	600	96	95	86
NiO/ZrO2	400	66	41	21
	500	91	75	64
	600	98	91	85

C-conversão global, CG-conversão a gás e R-rendimento em  $H_2$ 

A Figura 5 exibe os resultados de conversão global para o teste de estabilidade, onde a reação foi realizada por 30 horas a 500 °C. Essa temperatura foi escolhida para permitir uma melhor diferenciação entre os catalisadores, já que a 600 °C a conversão global foi de praticamente 100% para todos os catalisadores. Nas sete primeiras horas a conversão foi ordenada como: NiO/CeO<sub>2</sub> < NiO/ZrO<sub>2</sub> < NiO/CeO<sub>2</sub>-ZrO<sub>2</sub>. O NiO/CeO<sub>2</sub>-ZrO<sub>2</sub> apresentou maior conversão global nas primeiras horas de reação, o que pode ser relacionado ao



seu maior grau de redução. Por outro lado, nas 8 horas finais a tendência inicial não foi verificada. Após 23 horas de reação, os três catalisadores apresentaram redução drástica na conversão: (i) NiO/CeO<sub>2</sub> – 53,4%, (ii) NiO/CeO<sub>2</sub>-ZrO<sub>2</sub> – 47,4% e (iii) NiO/ZrO<sub>2</sub> – 53,8%. A redução da conversão deve estar associada à formação de coque sobre os catalisadores, o que será confirmado posteriormente por análise termogravimétrica dos catalisadores usados.

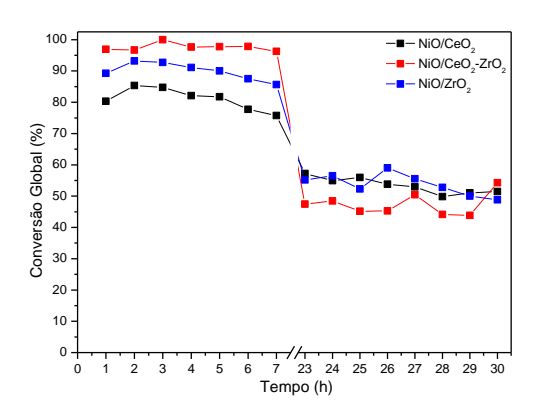
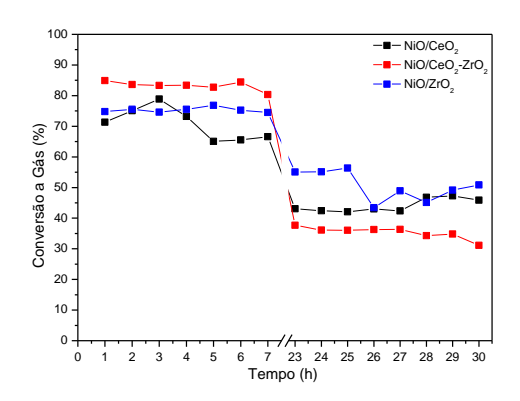


Figura 5. Conversão global para o teste de estabilidade.

As Figuras 6 e 7 mostram a variação da conversão a gás e o rendimento em H<sub>2</sub> para o teste de estabilidade, onde o perfil de ambos se assemelham com o da conversão global, em que o NiO/CeO<sub>2</sub>-ZrO<sub>2</sub> apresentou o melhor desempenho nas primeiras horas. Nas primeiras horas de reação, a conversão a gás e o rendimento do NiO/CeO<sub>2</sub>-ZrO<sub>2</sub> apresentou valor médio de 83,2% e 70,8%, respectivamente. Já as últimas horas da reação exibiram 35,3% de conversão a gás e 32,1% de rendimento.



**Figura 6.** Conversão a gás para o teste de estabilidade.



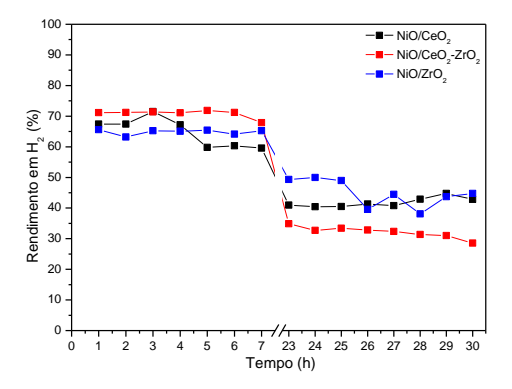
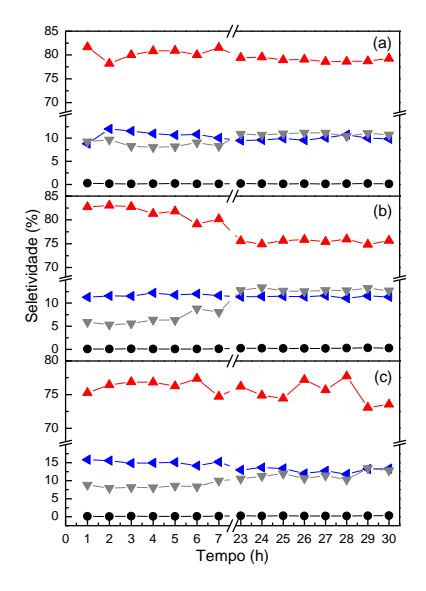


Figura 7. Rendimento em H<sub>2</sub> para o teste de estabilidade.

A Figura 8 destaca a seletividade para o teste de estabilidade. NiO/CeO<sub>2</sub>, NiO/CeO<sub>2</sub>-ZrO<sub>2</sub> e NiO/ZrO<sub>2</sub> foram mais seletivos à CO<sub>2</sub>, indicando que a reação de reforma a vapor (Equação 2) foi predominante durante as 30 horas de reação.

$$C_2H_6O + 3H_2O \rightleftharpoons 2CO_2 + 6H_2 \quad \Delta H_{298}^0 = 174 \text{ kJ mol}^{-1} \quad (2)$$



**Figura 8.** Seletividade dos produtos contendo carbono para os catalisadores: (a) NiO/CeO<sub>2</sub>, (b) NiO/CeO<sub>2</sub>-ZrO<sub>2</sub> e (c) NiO/ZrO<sub>2</sub>. ▲ - CO<sub>2</sub>, ◀ - CH<sub>4</sub>, ▼ - CO e • - C<sub>2</sub>H<sub>4</sub>.

A partir da 23° hora de reação, os três catalisadores proporcionaram um aumento da seletividade de CO e ligeira redução para CO<sub>2</sub>, onde essa variação foi mais evidente para NiO/CeO<sub>2</sub>-ZrO<sub>2</sub>. A seletividade do CH<sub>4</sub> se manteve constante durante toda a reação. Portanto, o aumento da seletividade de CO nas horas finais se deveu a um ligeiro favorecimento da reação reversa de deslocamento gás-água (Equação 3) ao invés da decomposição do etanol (Equação 4). Além disso, a seletividade do eteno (C<sub>2</sub>H<sub>4</sub>) foi desprezível (~0,2%), indicando que a desidratação do etanol (Equação 5) não foi favorecida.



$$C_2H_6O \rightleftharpoons CH_4 + CO + H_2 \quad \Delta H_{298}^0 = 50 \text{ kJ mol}^{-1}$$
 (4)

$$C_2H_6O \rightleftharpoons C_2H_4 + H_2O$$
  $\Delta H_{298}^0 = 46 \text{ kJ mol}^{-1}$  (5)

#### Conclusões

O catalisador NiO/CeO<sub>2</sub>-ZrO<sub>2</sub> apresentou maior conversão global e rendimento em H<sub>2</sub> nas primeiras horas de reação a 500 °C, o que pode ser relacionado ao seu maior grau de redução. Os testes reacionais indicaram que o aprofundamento na investigação da reforma a vapor de etanol, com os catalisadores em questão, é relevante, pois foram obtidos valores de conversão, rendimento e seletividade promissores. Entretanto, os testes de estabilidade mostraram que os catalisadores apresentaram grande desativação, indicando que estudos que permitam a melhora de performance devem ser realizados como, por exemplo, a adição de promotores básicos ao suporte (La ou Mg).

# Agradecimentos

Os autores agradecem a FAPERJ pelo apoio financeiro e ao Laboratório de Tecnologias Verdes (GreenTec) pelas análises de fisissorção de  $N_2$ .

## Referências

- 1. M. M. V. M. Souza, *Hidrogênio e Células a Combustível*, Synergia, Rio de Janeiro, 2018.
- 2. R. Trane; S. Dahl; M. S. Skjøth-Rasmussen; A. D. Jensen, *Int. J. Hydrogen Energy*, **2012**, *37*, 6447-6472.
- 3. F. Vidal, Produção e mercado de etanol, Caderno Setorial ETENE, 121, 1-10, 2020.
- R. R. Davda, J. W. Shabaker, G. W. Huber, R. D. Cortright, J. A. Dumesic, *Appl. Catal. B: Environ.*, 2005, 56, 171-186.
- G. W. Huber, J. W. Shabaker, J. A. Dumesic, *Science*, 2003, 300, 2075-2077.
- 6. J. R. Anderson, Structure of Metallic Catalysts, Academic Press, London, 1975.
- 7. M. Varkolu, A. Kunamalla, S. A. K. Jinnala, P. Kumar, S. K. Maity, D. Shee, *Int. J. Hydrogen Energy*, **2021**, 46, 7320-7335.
- M. Wang, S. Y. Kim, A. Jamsaz, N. Pham-Ngoc, Y. Men, D. H. Jeong, E. W. Shin, *Catal. Today.*, 2024, 425, 114341.
- 9. R. Pérez-Hernández, A. Gutiérrez-Martínez, J. Palacios, M. Vega-Hernández, V. Rodríguez-Lugo, *Int. J. Hydrogen Energy*, **2011**, *36*, 6601-6608.
- 10. P. Biswas, D. Kunzru, *Int. J. Hydrogen Energy*, **2007**, *32*, 969-980.
- 11. H. Sun, H. Wang, X. Liu, Z. Zhang, S. Zhang, X. Wang, Y. Liu, *ChemistrySelect*, **2022**, *7*, 1-9.